

## 鋼・コンクリート合成構造のクリープ・乾燥収縮 解析における種々の基礎式に関する一考察

A CONSIDERATION ON VARIOUS BASIC EQUATIONS FOR THE ANALYSIS OF CREEP AND SHRINKAGE  
IN STEEL-CONCRETE COMPOSITE STRUCTURES

中井 博\* 栗田 章光\*\*

by Hiroshi NAKAI and Akimitsu KURITA

This paper deals with the fundamental stress-strain relationship of concrete for the analysis of the effects of creep and shrinkage in steel-concrete composite structures including prestressed concrete members. At the first, the concept and one of the treatments applied to delayed elastic creep are described in details.

In order to simplify the analysis, the fundamental equation of stress-strain relationship of concrete under varying stress are expressed in algebraic form. For the practical purpose, improved Dischinger method, Trost-Bazant method and Hoshino-Saeki method are taken up and are discussed here from the treatment of delayed elastic creep point of view. The calculation results for the typical steel-concrete composite girder cross section are presented as the numerical example.

### 1. まえがき

PC構造を含む鋼コンクリート合成構造のクリープ・乾燥収縮解析については、今まで数多くの解法が提案され実用に供されてきた。コンピュータが普及する前の解法は、当然のことながら応力法が用いられており、かつ、計算に伴う労力を軽減するための工学的判断が巧みに使用されている。

ところで、周知のように、コンクリートのクリープに対する考え方は、1960年頃より大きく変ってきた<sup>1)</sup>つまり、それ以前までの構造物設計におけるクリープ現象は1つの成分、すなわち、塑性成分のみで構成されるとして取り扱われてきた。しかし、コンクリートの物性に関する多くの研究者によって、クリープ現象は2つの成分、すなわち、遅れ弾性成分とフロー成分との2つから成り立っているとの考え方方が実験的に明らかにされてきた。この考え方方は、1972年の西ドイツにおける新・プレストレスコンクリート指針あたりから採用されるようになり、現在、もちろんわが国のコンクリート関係の設計規準類にも採り入れられている。ところが、現行の鋼合成桁の設計示方書には、この新しい考え方は反映されていない。その理由は、鋼合成桁の場合、架設系に応じて持続荷重が変化するPC構造とは異なり、一般に遅れ弾性成分の影響を無視しても変化応力に大差がないとの判断によるものであろう。しかし、プレキャスト床版合成桁でプレストレス力を解放する工法<sup>2)</sup>のように、持続荷重の除荷を伴う合成桁の施工法が考案され、かなりの架設例が見られる

\* : 工博 大阪市立大学教授 工学部土木工学科 (〒558 大阪市住吉区杉本3丁目3番138号)

\*\* : 工修 大阪工業大学講師 工学部土木工学科 (〒535 大阪市旭区大宮5丁目16番1号)

こと、さらに新しい工法をとり入れた合成構造の出現が予想されること、ならびにプレストレストコンクリート関係の設計規準類と整合性をとること等の理由により、鋼合成桁関係のこの種の設計規定を書き改める必要があるように思われる。

このような背景のもとで、著者らは、PC構造を含む鋼コンクリート合成構造のクリープ・乾燥収縮解析の基礎式としてのコンクリートの応力-ひずみ関係式について考察を行ったので、その結果を本文で報告する。本文では、先ず、クリープ・乾燥収縮に関する基本的事項について述べ、次いで数種のクリープモデルについて、構造解析の基本となる代数式表現されたコンクリートの応力-ひずみ関係式の誘導、ならびにとりまとめと数値計算を行い、考察を加えた。なお、応力-ひずみ関係式を代数式表現に統一した理由は、構造解析を行う上で、その基礎式は出来るだけ簡単な方が有利性が發揮されるし、その基礎式に含まれるクリープの遅れ弾性成分とフロー成分との取扱いが明確になるという観点に立ったからである。

## 2. クリープ・乾燥収縮に関する基本事項

### 2. 1 一定応力下でのコンクリートのひずみ<sup>3), 4)</sup>

図-1(a)に示すようにコンクリートが材齢 $t_0$ で一定の持続応力 $\sigma_{b0}$ を受け、材齢 $t_1$ でその応力が除荷されるという状態を考える。

一定応力度 $\sigma_{b0}$ の下で経時変化するコンクリートのひずみ $\varepsilon_b(t, t_0)$ は、次式の3つの成分でもって表すことができる。

$$\varepsilon_b(t, t_0) = \varepsilon_e + \varepsilon_k(t, t_0) + \varepsilon_s(t, t_0) \quad (1)$$

ここに、 $\varepsilon_e$ は一定の弾性ひずみ

$$\varepsilon_e = \frac{\sigma_{b0}}{E_b} \quad (2)$$

であり、 $\varepsilon_k(t, t_0)$ はクリープひずみで、弾性ひずみにクリープ係数 $\phi(t, t_0)$ を乗じて求めることができる。

$$\varepsilon_k(t, t_0) = \frac{\sigma_{b0}}{E_b} \cdot \phi(t, t_0) \quad (3)$$

ここで、クリープひずみ $\varepsilon_k(t, t_0)$ は、図-1(c)に示されるように、2つのひずみ成分の和として表される。1つは応力を解放すると、回復する性質をもつクリープひずみで、遅れ弾性ひずみ $\varepsilon_v$ と呼ばれ、他の1つは塑性的性質を持つフローひずみ $\varepsilon_f$ である。したがって、式(3)中のクリープ係数 $\phi(t, t_0)$ は、こ

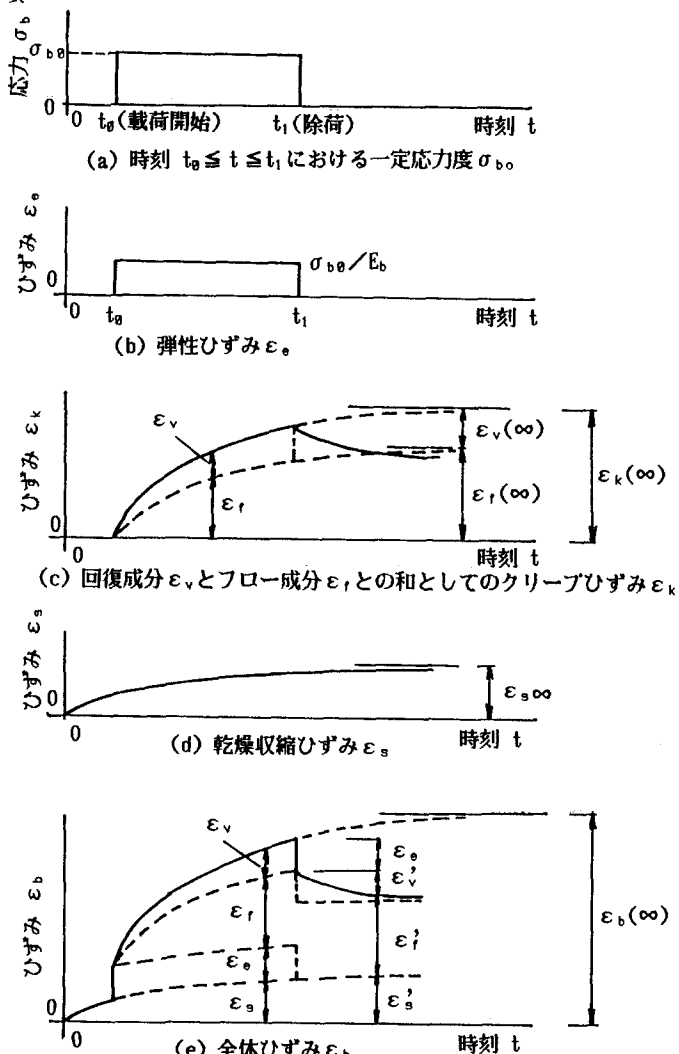


図-1 一定応力下でのコンクリートひずみの経時変化

これらの性質を考慮して、次の2つのクリープ係数の和として設計規準類に規定されている。

$$\phi(t, t_0) = \phi_v \cdot \beta_v(t - t_0) + \phi_r \{ \beta_r(t) - \beta_r(t_0) \} \quad (4)$$

ここで、 $\phi_v$ ：遅れ弾性ひずみに対する基本のクリープ係数（回復クリープ係数）で、一般に0.4の値が用いられている<sup>6)</sup>

$\phi_r$ ：フローひずみに対する基本のクリープ係数で、構造物の環境条件に応じて規定されている。

$\beta_v(t - t_0)$ ：載荷後の有効経過日数に関する関数である。

$\beta_r(t)$ ：コンクリートの有効材齢 $t$ および部材の仮想厚さに関する関数である。

$t_0, t$ ：載荷時およびクリープ係数の値を算出する時点でのコンクリートの有効材齢を意味する。

また、 $\varepsilon_s(t, t_0)$ は乾燥収縮ひずみであり、一般表示すると、次式で表わされる。

$$\varepsilon_s(t, t_0) = \varepsilon_{s\infty} \{ \beta_s(t) - \beta_s(t_0) \} \quad (5)$$

ここで、 $\varepsilon_{s\infty}$ ：基本収縮ひずみで、構造物の環境条件に応じて規定される。

$\beta_s(t)$ ：コンクリートの有効材齢および部材の仮想厚さに関する関数である。

したがって、図-1(a)の載荷条件下におけるコンクリートひずみの経時変化は、これら3つのひずみ成分を重ね合わせて、図-1(e)のように図化される。とくに、クリープ解析上、式(4)に含まれる遅れ弾性ひずみに対するクリープ係数 $\phi_v$ の取扱いが重要になる。

## 2.2 除荷がある場合のクリープ係数の取扱い

図-1に示されたように、材齢 $t_1$ で除荷された場合の時刻 $t > t_1$ におけるクリープ係数 $\phi(t, t_0)$ は、一般に次の形で表わしてクリープ解析にとり入れられている<sup>6)</sup>

$$\begin{aligned} \phi(t, t_0) = & \phi_v \cdot \beta_v(t_1 - t_0) \\ & + \phi_r \{ \beta_r(t_1) - \beta_r(t_0) \} \\ & - \phi_v \cdot \beta_v(t - t_1) \end{aligned} \quad (6)$$

つまり、除荷後の挙動は、遅れ弾性成分に対するクリープ係数を減じることによって、クリープ解析が行われる。

## 2.3 載荷時の材齢が異なるいくつかの持続応力が載荷される場合のクリープひずみ<sup>8)</sup>

載荷材齢が異なるいくつかの持続応力が載荷される場合、弾性ひずみと同様に、クリープひずみに対しても一般に重ね合わせの原理が適用されている。その一例を図-2に示す。すなわち、材齢 $t_0$ で $\sigma_0$ が載荷され、その後、材齢 $t_1$ で次の持続応力 $\sigma_1$ が載荷された場合の2つのひずみの経時変化とその重ね合わせた結果が示されている。この場合、時刻 $t > t_1$ におけるコンクリートのひずみ $\varepsilon(t, t_0)$ は、収縮ひずみを除けば、

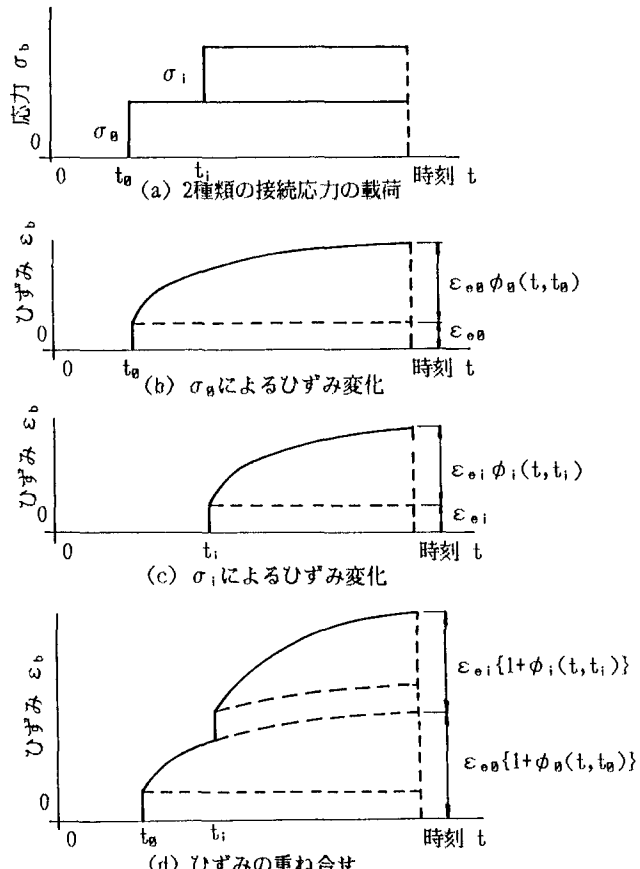


図-2 2つの持続応力が作用する場合の取扱い

$\varepsilon(t, t_0) = \varepsilon_{s0} \{1 + \phi_0(t, t_0)\} + \varepsilon_{s1} \{1 + \phi_1(t, t_1)\}$   
 と表すことができる。ここに、係数 $\phi_0$ および $\phi_1$ は、それぞれ $\sigma_0$ および $\sigma_1$ に対するクリープ係数を意味している。

### 3. クリープ・乾燥収縮解析の基礎式

上述の2. で述べたコンクリートの基本的性質を用いて実構造物のクリープ・乾燥収縮解析を行う場合、鉄筋、PC鋼材、あるいは鋼桁等による拘束の影響を見込まねばならない。つまり、一定の持続荷重を受けたコンクリートの応力は、非クリープ材である鋼材の拘束により変化する。したがって、応力変動下におけるコンクリートの応力-ひずみ関係を定式化する必要がある。ここでは、古くからこの分野の解析に用いられてきたDischinger法をはじめ、クリープに関する新しい知見を含んだ改良Dischinger法（Rüschらの方法）、Trost-Bažant法、星埜・佐伯の方法を取り上げ、それらの基本仮定と基礎式のとりまとめを行い、かつ、数値計算を実施して若干の考察を加えることとする。

#### 3. 1 Dischinger法<sup>5), 6)</sup>

この方法は、1937年にDischingerによって提示された微分方程式に基づく方法で、勿論、クリープ係数 $\phi$ には遅れ弾性成分は含まれておらず、すべてフロー成分で構成されていることを前提としている。乾燥収縮を含むDischingerの微分方程式は、

$$\frac{d\varepsilon_b}{dt} = \frac{1}{E_b} \cdot \frac{d\sigma_b}{dt} + \frac{\sigma_b}{E_b} \cdot \frac{d\phi}{dt} + \frac{\varepsilon_{s\infty}}{\phi\infty} \cdot \frac{d\phi}{dt} \quad (7)$$

と書ける。ここに、 $t$ ：時刻

$$\varepsilon_b = \varepsilon_b(t) = \varepsilon_b(t, t_0) : \text{時刻 } t \text{ におけるコンクリートひずみ}$$

$E_b$ ：コンクリートの弾性係数（一定と仮定する）

$$\sigma_b = \sigma_b(t) = \sigma_b(t, t_0) : \text{時刻 } t \text{ におけるコンクリート応力}$$

$$\phi = \phi(t) = \phi(t, t_0) : \text{時刻 } t \text{ におけるクリープ係数}$$

$$\phi\infty = \phi(\infty) : \text{時刻 } t = \infty \text{ におけるクリープ係数}$$

$$\varepsilon_{s\infty} = \varepsilon_s(\infty) : \text{時刻 } t = \infty \text{ における乾燥収縮ひずみ。}$$

ところで、時刻 $t$ におけるコンクリートの応力 $\sigma_b$ を、次のように、

$$\sigma_b = \sigma_{b0} + \sigma_\phi(t) \quad (8)$$

$\sigma_{b0}$ ：当初応力、 $\sigma_\phi(t) = \sigma_\phi$ ：応力の変化量

と置いて式(7)に代入し、時刻 $t$ で両辺を積分すれば、

$$\varepsilon_b = \frac{\sigma_\phi}{E_b} + \frac{\sigma_{b0}}{E_b} \cdot \phi + \frac{1}{E_b} \int_0^\phi \sigma_\phi d\phi + \frac{\varepsilon_{s\infty}}{\phi\infty} \cdot \phi + C \quad (9)$$

が得られる。積分定数 $C$ は、初期条件により定まる。いま、時刻 $t=0$ のとき、クリープ係数 $\phi=0$ で、かつ応力変動 $\sigma_\phi=0$ であるから、 $C=\sigma_{b0}/E_b$ となり、 $\varepsilon_s = \varepsilon_s(t) = \varepsilon_{s\infty} \cdot \phi / \phi\infty$ と書けば、式(9)は、つぎのように表わされる。

$$\varepsilon_b = \frac{\sigma_{b0}}{E_b} (1 + \phi) + \frac{\sigma_\phi}{E_b} + \frac{1}{E_b} \int_0^\phi \sigma_\phi d\phi + \varepsilon_s \quad (10)$$

上式での積分項は、ある仮定を設ければ、簡単に実行できる。ちなみに、図-3に示すようにクリープ係数 $\phi$ の変動に伴う変動応力 $\sigma_\phi$ の変化を考えると、積分の結果は、図中の縦実線で囲まれた面積となり。

$$\int_0^\phi \sigma_\phi d\phi = \rho_D \cdot \phi \cdot \sigma_\phi \quad (11)$$

で表すことができる。係数 $\rho_D$ は、Dischinger法でのリラクセーション係数を意味している。したがって、

$$\rho_D = \frac{\int_0^\phi \sigma_\phi d\phi}{\phi \cdot \sigma_\phi}, \quad (0.5 \leq \rho_D \leq 1.0) \quad (12)$$

である。変動応力 $\sigma_\phi$ がクリープ係数 $\phi$ の一次関数であると仮定した場合（図-3の斜破線で囲まれた面積）、 $\rho_D=0.5$ となる。式(11)と(10)とにより、

$$\varepsilon_b = \frac{\sigma_{b0}}{E_b} (1 + \phi) + \frac{\sigma_\phi}{E_b} (1 + \rho_D \cdot \phi) + \varepsilon_s \quad (13)$$

が得られる。係数 $\rho_D=1/2$ を用いる方法は、現行の道路橋示方書・同解説II、鋼橋編の合成桁の規定解説に示されている考え方であり、この $\phi$ にはまだ遅れ弾性成分の値は考慮されていない。一方、コンクリート橋編では遅れ弾性成分に関する解説はあるものの、規定上、この成分はフロー成分に組み入れられた形となっている。また、応力損失の計算手法はこのDischinger法に基づいており、変化応力に関する重要な仮定は当初応力と最終応力の差（ $\sigma_\phi$ ）の平均応力が一定の値で作用するものとしているから、やはりこの場合も $\rho_D=1/2$ となる（図-3参照）。

### 3.2 改良Dischinger法<sup>6)</sup>

Rüschらは、図-4に示すように、遅れ弾性ひずみが初期載荷時の弾性ひずみと同時に生じるとの仮定にもとづき、改良されたDischinger法を提案している。

$$\varepsilon'_e = \varepsilon_e + \varepsilon_v = \frac{\sigma_{b0}}{E_b} (1 + \phi_v) = \frac{\sigma_{b0}}{E'_b} \quad (14)$$

ここに、

$$E'_b = \frac{E_b}{1 + \phi_v} \quad (15)$$

この方法によると、式(7)は、次のように表わされる。

$$\frac{d\varepsilon_b}{dt} = \frac{1 + \phi_v}{E_b} \cdot \frac{d\sigma_b}{dt} + \frac{\sigma_b}{E_b} \cdot \frac{d\phi}{dt} + \frac{\varepsilon_{s\infty}}{\phi\infty} \cdot \frac{d\phi}{dt} \quad (16)$$

先と同様な式の展開をすると、次の結果が得られる。

$$\varepsilon_b = \frac{\sigma_{b0}}{E_b} (1 + \phi_v + \phi_f) + \frac{\sigma_\phi}{E_b} (1 + \phi_v + \rho_R \cdot \phi_f) + \varepsilon_s \quad (17)$$

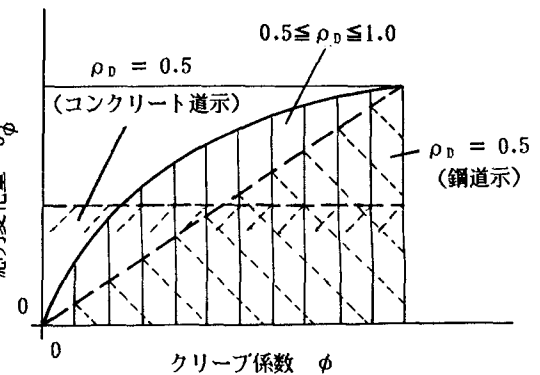


図-3 クリープ係数の変動に伴う $\sigma_\phi$ の変化

（斜破線で囲まれた面積）

（ $0.5 \leq \rho_D \leq 1.0$ ）

（ $\rho_D = 0.5$ ）

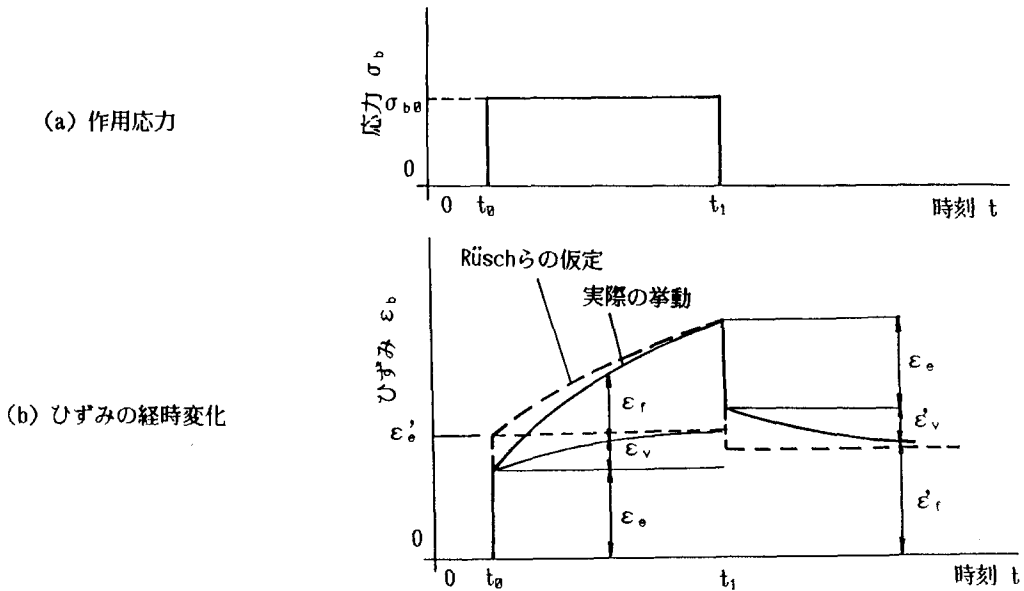


図-4 Rüschによるひずみの仮定

ただし、係数  $\rho_R$  は、改良Dischinger法 (Rüschらの方法) によるリラクセーション係数、すなわち、

$$\rho_R = \frac{\int_0^{\phi_f} \sigma_\phi d\phi}{\phi_f \cdot \sigma_\phi}, \quad (0.5 \leq \rho_R \leq 1.0) \quad (18)$$

を表している。この方法では、極めて簡単な形でクリープの遅れ弾性成分を取り入れている。一般に、遅れ弾性ひずみの進行は、載荷後90日程度で終了するとみなせることから、 $t - t_0 \geq 90$ 日のクリープ解析に本法は有用な方法であると云えよう。また、解析には、通常、 $\rho_R = 0.5$ が使用されている。

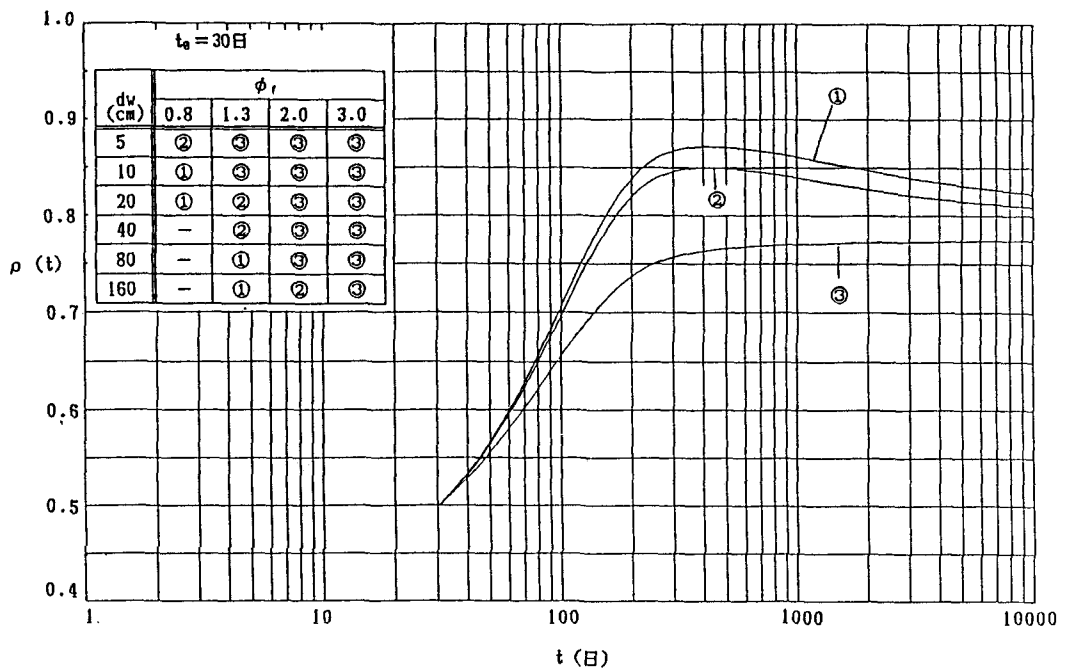
### 3.3 Trost-Bažant法<sup>7), 8), 10)</sup>

TrostとBažantとがほぼ時を同じくして、クリープの遅れ弾性成分を考慮し、リラクセーション係数  $\rho$  を初めて導入した。この方法による応力-ひずみ関係式は、係数  $\rho$  を用いて次式で与えられている。

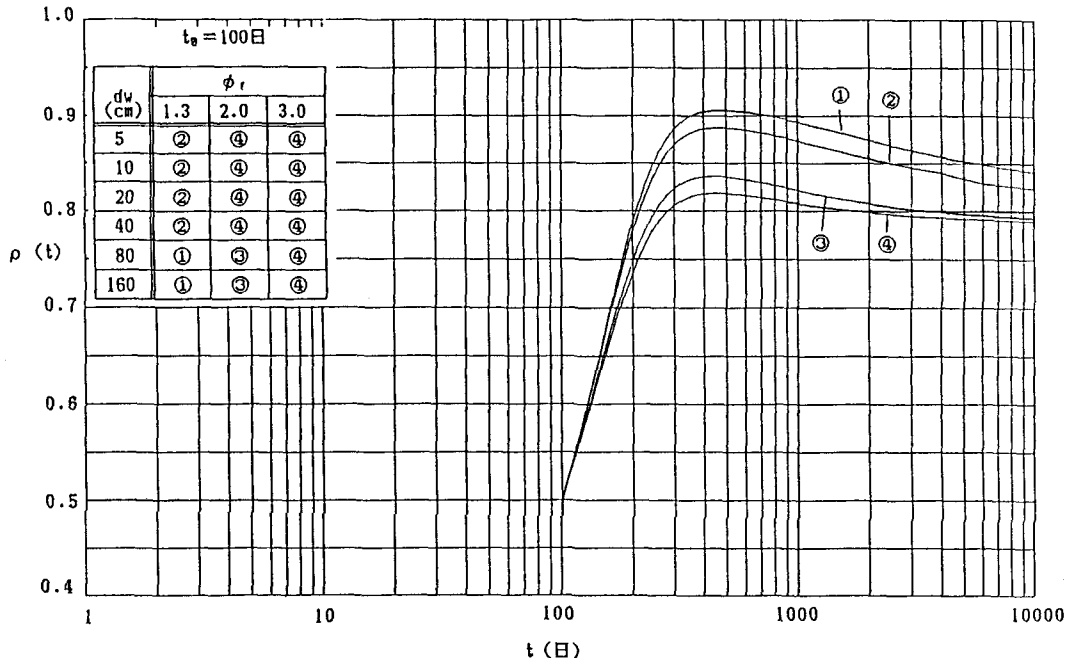
$$\varepsilon_b = \frac{\sigma_{b0}}{E_b} (1 + \phi_v + \phi_f) + \frac{\sigma_\phi}{E_b} \{1 + \rho(\phi_v + \phi_f)\} + \varepsilon_s \quad (19)$$

$$\text{ただし、} \rho = \frac{\int_0^{\phi^*} \sigma_\phi d\phi}{(\phi^* \cdot \sigma_\phi)}, \quad \phi^* = \phi_v + \phi_f \quad (20)$$

遅れ弾性成分を含む種々のクリープ係数  $\phi^* = \phi_v + \phi_f = \phi(t, t_0)$  に対して  $\rho = \rho(t, t_0)$  の値を計算すると、図-5のようになる。<sup>10), 11)</sup>  $\rho$  の計算に対する条件は、道路橋示方書・同解説III、コンクリート橋編に示されている6種類の有効部材厚 (dw) に対するクリープ進行曲線を用い、かつ、 $\phi_f$  を0.8~3.0まで変化させ、また  $\phi_v$  を0.4の一定としている。このような計算条件のもとで、初期載荷材令 ( $t_0$ ) が30日と100日の2つのケースに対するリラクセーション係数 ( $\rho$ ) の変化を示したものが図-5である。この図より、明らかに  $t - t_0 \geq 180$  日の場合のリラクセーション係数は、近似的に  $\rho = 0.8$  を用いてよいことがわかる。



(a)  $t_0 = 30$ 日の場合



(b)  $t_0 = 100$ 日の場合

図-5 種々の条件下での $\rho$ の値

### 3.4 星埜・佐伯の方法<sup>12)</sup>

星埜と佐伯はRüschらと類似の考え方にもとづき、次式を提案している。

$$\varepsilon_b = \frac{\sigma_{b\theta}}{E_b} (1 + \phi_v + \phi_f) + \frac{\sigma_\phi}{E_b} \left\{ 1 + \phi_v + \frac{1}{2} (\phi_v + \phi_f) \right\} + \varepsilon_s \quad (21)$$

この方法では繰返し計算を前提にしているので、実計算の際、変化応力項の第2項目の $\phi_v$ 値は第1回目の計算のときのみを考慮している。 $\rho_D = 1/2$ を用いるRüschらの方法とこの方法との相違点は、基本式の上では、変化応力項の第3項目に遅れ弾性成分を入れるか入れないかの相違があり、また、Rüschらの方法では時刻 $t = \infty$ まで一度に計算することが前提であるのに対し、星埜・佐伯の方法では解析精度を上げるために時間分割による繰返し計算を前提としている。

### 3.5 各解析法の比較と考察

これまでに述べた4つの方法における応力-ひずみ関係を、まとめたのが表-1である。

表-1 各解法による応力-ひずみ関係式の比較

解 法	基 础 式
Dischinger法	$\varepsilon_b = \frac{\sigma_{b\theta}}{E_b} (1 + \phi) + \frac{\sigma_\phi}{E_b} (1 + \rho_D \cdot \phi) + \varepsilon_s$
改良Dischinger法	$\varepsilon_b = \frac{\sigma_{b\theta}}{E_b} (1 + \phi_v + \phi_f) + \frac{\sigma_\phi}{E_b} (1 + \phi_v + \rho_R \cdot \phi_f) + \varepsilon_s$
Trost-Bažant法	$\varepsilon_b = \frac{\sigma_{b\theta}}{E_b} (1 + \phi_v + \phi_f) + \frac{\sigma_\phi}{E_b} \{ 1 + \rho (\phi_v + \phi_f) \} + \varepsilon_s$
星埜・佐伯の方法	$\varepsilon_b = \frac{\sigma_{b\theta}}{E_b} (1 + \phi_v + \phi_f) + \frac{\sigma_\phi}{E_b} \left\{ 1 + \phi_v + \frac{1}{2} (\phi_v + \phi_f) \right\} + \varepsilon_s$

この表からわかるように、Dischinger法を除く3つの方法においては、変化応力項における $\phi_v$ の取扱いに差異が認められる。式(19)と式(17)との比較から、改良Dischinger法では遅れ弾性ひずみによる回復クリープが最大限に評価されていることがわかる。また、式(21)と式(17)の比較から、星埜・佐伯の方法では、回復クリープが改良Dischinger法よりもさらに過大に評価されている。一方、Trost-Bažant法では、これら3つの方法の中で回復クリープの影響が最も低く評価されている。もちろん、Dischinger法では、回復クリープの影響は考慮されていない。

### 3.6 計算例

図-6に示す合成桁断面<sup>13)</sup>を用いて各解法による計算結果を示したのが表-2である。計算には総断面力法<sup>14)</sup>を用い、持続モーメントとして $M_g = 1105 \text{tf}\cdot\text{m}$ を作用させた。したがって、コンクリートフランジの上、下縁には、それぞれ $100.3 \text{kgf}/\text{cm}^2$ 、 $70.5 \text{kgf}/\text{cm}^2$ の初期応力が導入されている。また、次の諸数値を計算に使用した。

$$\begin{aligned} \phi(\infty) &= 2.0 & \phi_v &= 0.4 & \phi_f(\infty) &= 2.0 & \rho_D &= \rho_R = 0.5 & \rho &= 0.8 \\ \varepsilon_s(\infty) &= 25 \times 10^{-5} & E_s &= 2.1 \times 10^6 \text{kgf}/\text{cm}^2 & E_b &= 3.5 \times 10^5 \text{kgf}/\text{cm}^2 \end{aligned}$$

星埜・佐伯の方法の場合、計算の繰返し数は3回とした。

表-2より、標準的な合成桁断面を対象とした場合、クリープ・乾燥収縮による応力変化は各解法によつ

て顕著な差が生じないことがわかる。ただし、この計算ではDischinger法のみ解法上の仮定より回復クリープを含まないクリープ係数 $\phi = 2.0$ が用いられており、他の3つの方法ではクリープ係数 $\phi = \phi_0 + \phi_r = 2.4$ が使用されていることに注意を要する。Dischinger法と改良Dischinger法の比較より、改良Dischinger法では回復クリープ(0.4)を考慮している分だけDischinger法より応力変化が8~11%大きい。また、類似の考え方である改良Dischinger法と星埜・佐伯の方法との比較では、この例の場合、ほぼ同じ結果を与えることがわかる。したがって、星埜・

佐伯の方法は繰返し計算が必要であることから、このような合成桁の場合、改良Dischinger法より能率が悪いと云えよう。回復クリープの取扱いが最も精密なTrost-Bažant法を基本とした計算結果の比も表-2中に示されている。回復クリープを容易な形で解析にもち込んだ改良Dischinger法の解は、精密なTrost-Bažant法の解より5~8%大きな値を与えることが、この例より理解される。

以上に、Dischingerの方法のほか、コンクリートのクリープに関する新しい知見を含んだ3つの方法について、それらの仮定や基本的な考え方を述べ、また、計算例を通じて若干の考察を加えた結果、リラクセーション係数 $\phi$ に関する前計算が不可避であるものの、ただ1回の計算でクリープ・乾燥収縮解析が実行し得るTrost-Bažant法が最も有用な計算法であると考えられる。

#### 4. あとがき

今後、レオロジーモデルによる各解法の考察や、合成桁を対象とした除荷を含む持続荷重によるクリープや乾燥収縮に伴うクリープ係数の取り方にについて検討する必要があろう。また、まえがきで述べた旧来の解析法は、今日でもなお仮定が許され得る範囲内で有効な方法と考えられる。しかし、今後出現が予想される多種多様でしかも複雑な鋼コンクリート合成構造や混合構造のクリープ・乾燥収縮解析を行う場合、応力法の使用は得策でないと云える。そのような場合、クリープ換算の剛性マトリックスを用いる変位法について検討する必要がある。

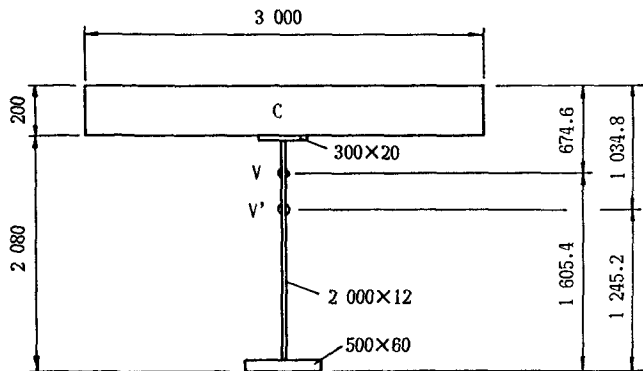


図-6 計算例に用いた合成桁断面<sup>13)</sup>

表-2 計算結果の比較 (kgf/cm<sup>2</sup>)

変化応力	①コンクリート フランジ上縁	①/T-B法	②コンクリート フランジ下縁	②/T-B法
Dischinger法	-34.5	1.00	-15.6	0.88
改良Dischinger法	-37.3	1.08	-17.3	0.98
T-B法	-34.4	1.00	-17.7	1.00
星埜・佐伯の方法	-36.3	1.06	-18.7	1.06

変化応力	③鋼桁上縁	③/T-B法	④鋼桁下縁	④/T-B法
Dischinger法	1184	0.96	-170	0.96
改良Dischinger法	1291	1.05	-186	1.05
T-B法	1231	1.00	-177	1.00
星埜・佐伯の方法	1300	1.06	-187	1.06

## 謝辞

本文をまとめるにあたって、絶大なる協力をいたいた修成建設専門学校教諭・瀬野靖久氏と大阪工業大学土木工学科研究生・福田雅友君に深甚の謝意を表します。

## 参考文献

- 1)Neville,A.M. : Creep of Concrete-Plain , Reinforced and Prestressed , North-Holland , 1970.
- 2)中井 博編：プレキャスト床版合成桁橋の設計・施工、森北出版、1988年5月。
- 3)Leonhardt,F. : Vorlesungen über Massivbau , Fünfter Teil , Springer-Verlag , 1980.
- 4)日本道路協会：道路橋示方書・同解説III、コンクリート橋編、丸善、昭和57年。
- 5)Zerna,W. : Zur Berechnung des Einflusses von Kriechen und Schwinden beim Beton , Konstruktiver Ingenieurbau Berichte , Heft 7 , Vulkan-Verlag , 1975.
- 6)Rüsch,H. und Jungwirth,D. : Stahlbeton-Spannbeton , Band 2 , Werner Verlag , 1976.
- 7)Trost,H. : Auswirkungen des Superpositionsprinzips auf Kriech- und Relaxationsprobleme bei Beton und Spannbeton , Beton- und Stahlbetonbau 62 , H.10/11 , 1967.
- 8)Trost,H. : Zur Berechnung von Stahlverbundträgern im Gebrauchszustand auf Grund neuerer Erkenntnisse des viskoelastischen Verhaltens des Betons. Der Stahlbau 37 , H.11 , 1968.
- 9)Neville,A.M. , Dilger,W.H. and Brooks,J.J. : Creep of Plain and Structural Concrete , Construction Press , 1983.
- 10)Schade,D. : Alterungsbeiwerte für das Kriechen von Beton nach den Spannbetonrichtlinien , Beton- und Stahlbetonbau 72 , H.5 , 1977.
- 11)瀬野靖久：PC構造を含む鋼・コンクリート合成構造の乾燥収縮・クリープ解析、大阪工業大学修士学位論文、1989。
- 12)星埜正明・佐伯彰一：コンクリート斜張橋のクリープ解析、土木学会論文報告集、第295号、1980.3.
- 13)Fritz,B. : Verbundträger , Berechnungsverfahren fur die Brückenbaupraxis , Springer-Verlag , 1961.
- 14)栗田章光・赤尾親助：マトリックス法による鋼コンクリート合成構造の乾燥収縮・クリープ解析、合成構造の活用に関するシンポジウム講演論文集、土木学会、1986.9.

(1989年10月2日受付)